



دراسة أولية في استخدام الخوارزميات الغير خطية لقياس قيم تعقيد اشارة الساق عند الاصحاء من خلال معالجة صور التباين الليزرية

عادل ابراهيم خليل* وليد احمد النعيمي احمد خضرير عباس
جامعة ديالى - كلية التربية للعلوم الصرفة - قسم الحاسوب / العراق - ديالى

نبراس جليل ابراهيم
جامعة ديالى - مركز الحاسبة الالكترونية / العراق - ديالى

adil.khalil.uod@gmail.com, adil.khalil@yahoo.com

الخلاصة

الغرض من البحث: تعتبر الإشارات الفسيولوجية اداة دقيقة لوصف حالة الإنسان الصحية. يمكن الحصول على هذه الإشارات من خلال مراقبة تدفق الدم المحيطي في الجلد. تعتبر تقنية التصوير الليزرية (LSCI) أداة تصوير بصرية رائدة توفر معلومات ثنائية الأبعاد حول تدفق الدم في الأوعية الدموية الدقيقة. نقدم هنا دراسة أولية لقياس تعقيد الإشارة التي تم الحصول عليها من الصور الليزرية لتدفق الدم في الأوعية الدموية الدقيقة للساقي. لهذا الغرض تم تطبيق احدى الخوارزميات القائمة على مبدأ الانتروبي على سلاسل LSCI زمنية التي تم الحصول عليها من تدفق الدم المحيطي في الساق لفتتن عمريتين مختلفتين سالمتين من الامراض.

الطريقة: تم الحصول على صور تدفق الدم في الأوعية الدموية الدقيقة للساقي باستخدام تقنية LSCI على ٨ اشخاص سليمين من اية امراض. تم تقسيم الاشخاص إلى فنتين عمريتين. الشباب (٣٠-٢٠ سنة ، العدد = ٤) والمسنين (٦٨-٥٠ سنة ، عدد = ٤). لحساب قيمة تعقيد اشارة تدفق الدم في الأوعية الدموية الدقيقة ، طبقنا خوارزمية تعقيد مستندة إلى الانتروبي تسمى (MSE) على سلسلة LSCI زمنية تم الحصول عليها من تدفق الدم المحيطي في الساق.

النتائج: بين تطبيق خوارزمية MSE على سلسلة LSCI زمنية تفوق قيمة الانتروبي التي تم الحصول عليها من مجموعة الشباب على قيمة الانتروبي التي تم الحصول عليها من مجموعة المسنين. مع ذلك ، لم يكن هناك فرق احصائي مؤثر بين هاتين الفنتين العمريتين($P = 0.649$).

الاستنتاجات: بين هذا البحث امكانية دراسة تأثير الشيوخوخة على عمل الأوعية الدموية الدقيقة عن طريق تطبيق خوارزميات التعقيد المستندة إلى الانتروبي على سلسلة LSCI الزمنية. مع ذلك ، لم يكن هناك فرق احصائي واضح على قيمة الانتروبي بين الفئات العمرية. هناك حاجة إلى عمل دراسة معمقة اكثرا تحتوي على عدد اكبر من الاشخاص لاجراء بحث موسع على النتائج المعروضة في هذه الورقة.

الكلمات المفتاحية :

- ١- جهاز التصوير الليزرى
- ٢- معالجة الصور الليزرية
- ٣- تدفق الدم في الأوعية الدموية الدقيقة
- ٤- تعقيد الاشارة
- ٥- speckle pattern

١- مقدمة

دخول التقنيات البصرية في مجال التصوير الطبي وفر إمكانيات مثيرة للحصول على معلومات حول الأنسجة . على مدى السنين القليلة الماضية ، تم تطوير العديد من هذه التقنيات لمراقبة تدفق الدم في الأوعية الدموية الدقيقة (Allen 2014) (Bi 2015). تستند العديد من هذه التقنيات على نمط التداخل العشوائي -المعروف باسم نمط الرقعة speckle pattern الذي يتم إنشاؤه من الضوء المنتشر للأشعة المرئية. Laser speckle contrast imaging (LSCI) هي تقنية تصوير معاصرة توفر صورة ثنائية الأبعاد ذات دقة عالية لتدفق الدم في الأوعية الدقيقة بتكلفة منخفضة (Richards 2013). تستخدم LSCI على نطاق واسع في البحوث الطبية بسبب الأداء العالي وعدم الحاجة إلى جراحة. تستغل هذه التقنية التقلبات التي تظهر في نمط الرقطة speckle pattern لتوفير معلومات حول تدفق الدم في الأنسجة السطحية (Bi 2015). يتم تسجيل هذه التقلبات في الكاميرا. يتم حساب تعبير (K) speckle contrast باستخدام كاميرا . يتم تسجيل التقلبات في الكاميرا (Briers 2007)

لتقييم عمل الأوعية الدموية الدقيقة في الجلد ، فإن المهمة الصعبية هي كيفية الحصول على المعلومات الفسيولوجية ذات الاهتمام من الصور الطبية. وبالتالي تم اقتراح العديد من طرق معالجة الإشارات والصور من أجل السماح لهم أفضل للخواص الفسيولوجية الأساسية. من بين هذه الطرق ، أصبح استخدام نظرية المعلومات (Information theory) وخصوصا الانتروبي (Entropy) ذو أهمية كبيرة في المجال الطبي. من بين هذه الادوات هي Sample Entropy (SampEn) (Information theory SampEn) يوفر تحليل وحيد للنطاق بينما يظهر نظام القلب والأوعية الدموية نطاقات زمانية متعددة لزيادة قدرته على التكيف في بيئه متغيرة. وبالتالي فإن تعقيد نظام القلب والأوعية الدموية يعمل على نطاقات زمانية متعددة. لهذا السبب لا توفر تحليلات Sample Entropy بمقياس واحد معلومات متعددة المستوى عن سلوك النظام الفسيولوجي المعقد. لذلك تم تقديم Multiscale Entropy (MSE) متعددة النطاقات كأدلة مفيدة لمعالجة الإشارات الفسيولوجية في نطاقات زمانية متعددة ، بالإضافة إلى نفس المبادئ الاحصائية ل SampEn (Costa 2002). تُستخدم تحليلات MSE على نطاق واسع في البيانات المسجلة من الدورة الدموية الكبرى و لتشخيص أنواع مختلفة من الأمراض ولكن أيضًا يمكن توظيفه لدراسة وظيفة وبنية الأوعية الدموية الدقيقة.

هذا البحث يقدم دراسة اولية لقياس تعقّد الاشارة السسيولوجية لتدفق الدم في الاوعية الدموية الدقيقة للساقي الاصحاء. لذلك تم التقاط مجموعة من صور التباين الليزرية (LSCI) لتدفق الدم في الاوعية الدموية الدقيقة للساقي. لقياس تعقّد اشارة تدفق الدم في الساق تم تطبيق خوارزمية MSE على بيانات LSCI التي تم الحصول عليها من نظام الاوعية الدموية الدقيقة في جلد الساق. اجريت الدراسة على فتيان عمريتين خالية من الامراض (فترة الشباب ، فترة المسنين).

الخلفية النظرية

-٢

ما هو speckle ؟

خلال تطور تقنية الليزر التي ظهرت في أوائل ١٩٦٠، لاحظ الباحثون ظاهرة جيدة سميت فيما بعد speckle. يتم إنتاج speckle من خلال تماسك ضوء الليزر. عندما يقوم مصدر الليزر بأسقاط الضوء فوق جزء خشن ، فإن فوتونات ضوء الليزر سوف ترتد من قبل كل من الجزيئات المتحركة والثابتة. يشكل الضوء المنعكس نمط تداخل من البكسلات الساطعة والداكنة - تسمى speckle - على الكاميرا (Briers 2007). تؤدي الحركات داخل الجسم المضيء إلى تقلبات زمانية في نمط التداخل وهذا النمط هو نمط ديناميكي. وبدلاً من ذلك ، إذا لم تحدث أي حركات داخل الجسم المضيء وكان ضوء الليزر مستقرًا فإن نمط التداخل لا يتذبذب بمرور الوقت. وبالتالي يمكن ثابت عند وصف النمط. يوضح الشكل (١) speckle pattern نموذجية.

Laser speckle هي ظاهرة عشوائية ويمكن وصفها إحصائياً فقط. لذلك يوفر التحليل الإحصائي في المجال المكاني معلومات أساسية عن حركة جسيمات الانتشار (Stern 1975).



شكل ١: speckle pattern نموذجي

ما هو speckle contrast ؟

.٢.٢

عندما يتم تسجيل speckle pattern باستخدام كاميرا CCD ، وبسبب حركات الجسيمات داخل الوسط (مثل حركة خلايا الدم الحمراء في الأنسجة) ، فإن نمط speckle pattern يتغير مع تغير عامل الزمن. وبالتالي يتم الحصول على صور ديناميكية على الكاميرا. يؤدي وقت التعرض للكاميرا (exposure time, T) عادة من ١ إلى ١٠ ملي ثانية إلى عدم وضوح أنماط speckle patterns . يتم حساب تباين الرقطة (K) (speckle contrast) لتحديد مقدار درجة الضبابية (Briers 1996) حيث يمثل K نسبة الانحراف المعياري σ إلى متوسط الكثافة (I):

$$(1) \quad K = \frac{\sigma}{\langle I \rangle} = \frac{\sqrt{\langle I^2 \rangle - \langle I \rangle^2}}{\langle I \rangle}$$

في المعادلة السابقة ، يتم حساب الانحراف المعياري ومتوسط كثافة البكسل في منطقة N حول البكسل (X,Y) .

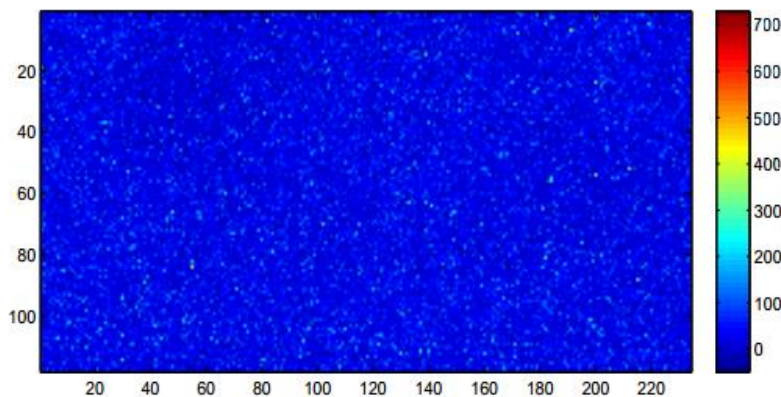
حساب speckle contrast من خلال perfusion

.٢.٣

إذا افترضنا أن الجسيمات المتحركة تتبع توزيع (Lorentzian)، فإن حساب نضح الدم perfusion يتم من خلال المعادلة التالية :

$$(2) \quad \text{Perfusion} \sim \frac{1}{K} - 1$$

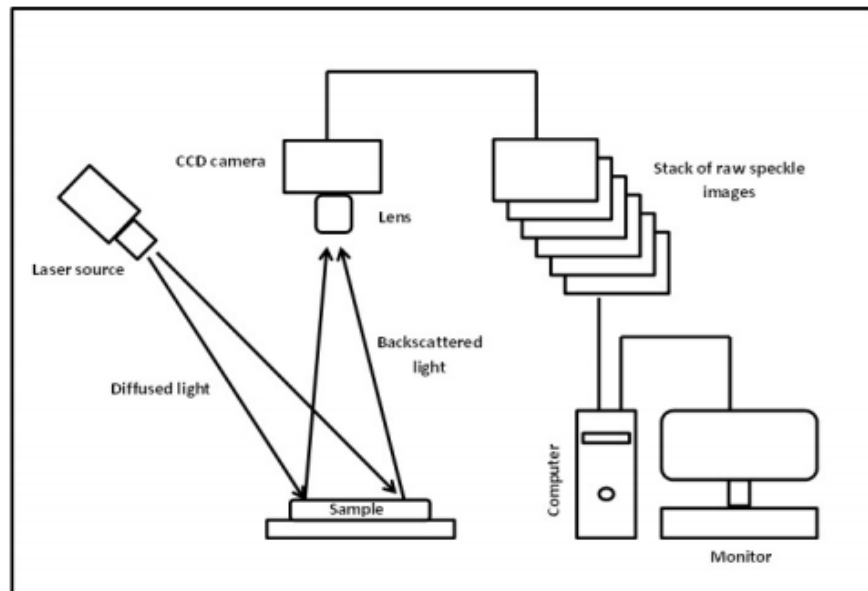
الشكل أدناه يوضح صورة عملية لنضخ الدم (perfusion)



الدم للساقي (حجم 118×234 بكسل) عند الاسترخاء حيث تم الحصول عليها باستخدام الشكل ٢: صورة نضخ LSCI.

٤.٢. تقنية Laser speckle contrast imaging .

أصبحت تقنية LSCI معتمدة على نطاق واسع في مجال الطب الحيوي لبساطة الأجهزة المطلوبة لرصد تدفق الدم. تتكون أجهزة LSCI من مصدر ليزر لإلقاء الضوء على المنطقة ذات الاهتمام مثل الأنسجة ، وكاميرا لاستشعار الضوء المبعثر ، وعدسة لجمع الضوء على مستشعر الكاميرا . (يعرض الشكل ٣ رسمًا تخطيطيًّا لتقنية LSCI) . يتم اسقاط شعاع الليزر والتحكم به لإلقاء الضوء على المنطقة المدروسة ، والتي قد تختلف من بضعة مليمترات إلى عدة سنتيمترات. وفقًا لشروط النظام يكون ضوء الليزر عادة في المنطقة الحمراء ليقترب من منطقة الأشعة تحت الحمراء لقليل التأثيرات الناتجة عن امتصاص الهيموغلوبين. يمكن استخدام كاميرا CCD (كاميرا قياسية غير مكلفة تستخدم للحصول على صور متدازنة لتدفق الدم) في LSCI . بالإضافة إلى ذلك ، أثبتت الأبحاث الحديثة أن LSCI يمكنها توفير خرائط عالية الجودة لنضخ الدم حتى مع أجهزة تصوير بسيطة مثل الكاميرات الملونة وكاميرات الويب وكاميرات الهواتف (Briers 1996).



الشكل ٣: رسم تخطيطي لنظام LSCI .

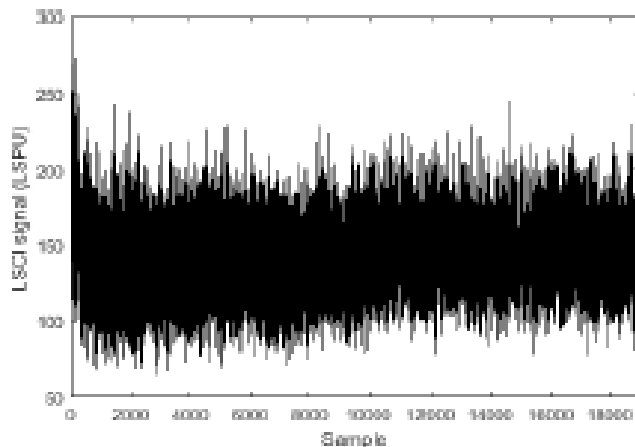
٣. منهجة البحث

١. المجموعة التي تم اختبارها

تم مشاركة ثمانية اشخاص في هذه الدراسة في حالتهم الصحية الطبيعية دون تاريخ مرضي معروف. تم تقسيم الاشخاص إلى فئتين عمريتين : مجموعة شابة و مجموعة مسنين . شملت المجموعة الأصغر اربعة اشخاص تتراوح اعمارهم بين ٢٠ و ٣٠ سنة. تضمنت المجموعة الأكبر سنًا اربعة اشخاص تتراوح اعمارهم بين ٥٠ و ٦٨ عاماً. قبل المشاركة اعطي جميع المشاركون موافقهم الخطية ، وتم إجراء الدراسة وفقاً لإعلان هلنكي.

٢. بروتوكول الاختبار

لتطبيق MSE على سلسلة LSCI زمنية ، تم الحصول على جميع صور تدفق الدم من الساق باستخدام تقنية LSCI. يبلغ طول موجة التصوير بالليزر ٧٨٥ نانومتر ووقت التعرض (Exposure time, T) ٦ ملي ثانية. في هذا الجهاز يتم الحصول على الصور الأولية (speckle pattern) في المنطقة المضيئة باستخدام كاميرا CCD بحجم 1038×1388 بكسل ، ويتم حساب التباين (speckle contrast, K) (speckle contrast) بعد ذلك مكانياً. يتم حساب تدفق الدم (perfusion) من قيم التباين (المحسوب من عكس التباين K). تقنية التصوير بالليزر (LSCI) بحكم تعريفها فهي حساسة للغاية للحركات. لذلك طلب من الأشخاص أن يكونوا مستلقين دون اجراء اي حركة أثناء الحصول على البيانات. قبل معالجة بيانات LSCI باستخدام المقايس المستندة ، لم يتم إجراء أي معالجة سبقة لإزالة التوافد المحتمل للقيم المتطرفة (حرصنا على التحقق من أن القيم المتطرفة إذا كانت موجودة كانت قليلة للغاية وذات سعة منخفضة ، انظر الشكل ٤).



الشكل ٤: الدورة الزمنية النسبية لتدفق الدم محسوبة من بيانات LSCI خلال ٢٠ دقيقة من الاسترخاء.

في هذا البحث ، تم معالجة ١٩٠٠٠ صورة (حوالي ٢٠ دقيقة) لكل شخص.

٣.٣. طريقة معالجة الصور الليزرية

لتحليل مدى تعقيد سلاسل LSCI الزمنية تم استخدام خطوات معالجة الصور التالية :

١. في أول صورة نضح *perfusion image* لكل شخص تم اختيار بكسل واحد بشكل عشوائي ، وتم تتبع نضنه مع الزمن لجميع الصور المتعاقبة.
٢. للحصول على إشارة معقولة وتقليل التباين المكاني لتدفق الدم ، تم حساب متوسط قيمة النضح داخل منطقة مربعة (ROI) حول كل من البكسلات المختار في الخطوة ١ مع الزمن. لهذا الغرض تم اختيار منطقة مربعة مرتقبة بالحجم (31×31) بكسل.
٣. يتم حساب قيم MSE لكل سلسلة زمنية وعرضها كدالة لعامل القياس σ ($1 - 267$).

٣.٤. التحليل الاحصائي

بالنسبة للمجموعتين (مجموعة الشباب ومجموعة المسنين) تم حساب . لمقارنة النتائج بين مجموعة الشباب والمسنين-test-تم إجراء تحليلات إحصائية باستخدام تحليل على المقياس الذي تم دراسته من ١ الى ٢٦٧ . تم اجراء تحليلًا إحصائيًا على هذا الفهرس لمقارنة النتائج بين مجموعة الشباب ومجموعة الأكبر سنًا. MSE متوسط قيم < ٠٠٥> قيمة مؤثرة وبالنسبة لجميع التحليلات الإحصائية ، اعتبرت قيمة

٣.٥. نظرية المعلومات (Entropy)

المفهوم الرئيسي لنظرية المعلومات هو الإنتروبي وهو مقياس الشك المرتبط بمتغير عشوائي. وفي هذا السياق، فإن المصطلح يشير عادة إلى شانون انتروبي ، الذي يحدد قيمة المترقبة للمعلومات الواردة في رسالة ما.

إنتروبي المتغير العشوائي X هو:

$$H(X) = - \sum_{i=1}^n p_i \log p_i \quad (3)$$

حيث p_i هو احتمالية حدوث المخرج x_i .

الإنتروبي لديه الخصائص التالية:

$$H(x) \geq 0 \quad .1$$

$$H(x) = 0 \quad .2$$

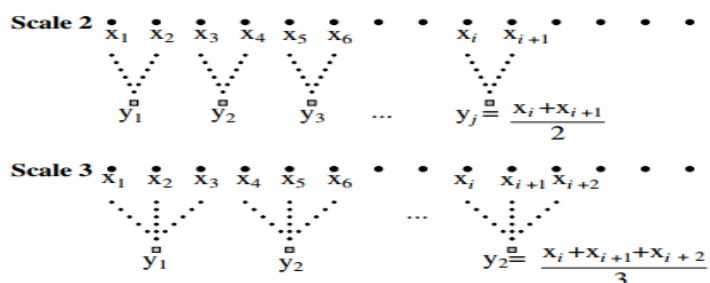
- (Certain event) إذا كان وفقط إذا كان المتغير "العشوائي X " لديه نتيجة واحدة فقط .3
- اعلى قيمة للإنتروبي يمكن الحصول عليها عندما يمتلك المتغير العشوائي احتمالية متساوية لكافة النتائج.

٣.٦ الانتروبي متعدد النطاق MSE

يهدف نهج MSE إلى دراسة تعقيد النظام الديناميكي عبر نطاقات زمنية متعددة (انظر الشكل 5). بالنسبة لمتجه البيانات أحادي البعد ، $\{x_1, \dots, x_i, \dots, x_N\}$ ، فإن مجموعات من النقاط المتتالية يتم تجميعها معاً لتشكيل مجموعات أصغر وعلى مستويات مختلفة بمقدار τ . لهذا الغرض ، تقسم السلسلة الزمنية الأصلية إلى مجموعات غير متداخلة الطول. يتم حساب متوسط نقاط البيانات داخل كل مجموعة. يتم إنجاز الخطوات المذكورة أعلاه لإنشاء المجموعات الزمنية الغير متداخلة باستخدام المعادلة التالية

$$y_j^{(\tau)} = \frac{1}{\tau} \sum_{i=(j-1)\tau+1}^{j\tau} x_i, \quad 1 \leq j \leq N/\tau. \quad (4)$$

أخيراً ، يتم تقييم كل سلسلة زمنية من عن طريق حساب مقياس إنتروبي (SampEn). يتم عرض النتيجة مقابل عامل القياس τ .



الشكل ٥: مخطط يوضح طريقة توليد السلسلة الزمنية لحساب MSE . (Costa 2002)

خوارزمية SampEn هي مفهوم الاحتمال الشرطي : إذا كان هناك مجموعتين فرعيتين من ضمنتين قريبتين من بعضهما البعض بالنسبة للنقاط المتعاقبة m ، ضمن حد تسامح معطي r ، فإن هاتين المجموعتين ستبقى أيضاً قريبة من بعضها البعض إذا تم تضمين نقطة جديدة أخرى في كل مجموعة فرعية.

بالنسبة لسلسلة لبيانات N ، فإن SampEn يتم حسابه بالشكل التالي

$$SampEn(m, r) = \lim_{N \rightarrow +\infty} \left\{ -\ln \left[\frac{B^{m+1}(r)}{B^m(r)} \right] \right\}. \quad (5)$$



حساب SampEn لمجموعة محددة من البيانات يتم عن طريق المعادلة التالية (Moorman 2000)

$$SampEn(m, r, N) = -\ln \left[\frac{B^{m+1}(r)}{B^m(r)} \right]. \quad (6)$$

وبالتالي يتم حساب MSE لكل سلسلة زمنية مصنوعة تم إنشاؤها كما في المعادلة التالية .

$$MSE(x, \tau, m, r) = -\ln \left(\frac{n_{\tau}^{m+1}}{n_{\tau}^m} \right), \quad (7)$$

حيث يمثل n_{τ}^m العدد الإجمالي لأزواج المتجهات المتباقة (السلسلة الزمنية) عند عامل مقاييس τ .

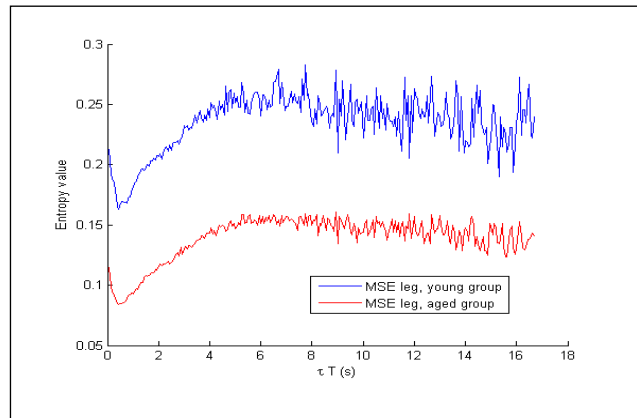
في خوارزمية MSE ، يتم رسم القيم المقدرة لـ SampEn مقابل عوامل القياس τ . تستخدم قيم الانترولي هذه لتقييم درجة تعقيد السلسلة الزمنية الطبيعية. يشير السلوك المتزايد أو الثابت لقيم الانترولي مقابل زيادة عامل القياس τ إلى أن السلسلة الزمنية الأصلية معقدة للغاية ، وتحتوي على معلومات عبر جداول زمنية متعددة. في المقابل يظهر انخفاض قيم التعقيد مقابل زيادة في قيم عامل القياس τ إن السلسلة الزمنية الأصلية تحمل معلومات فقط عند عامل القياسات τ الصغيرة (Costa 2002).

٤. النتائج والمناقشة

يعرض الشكل (٥) النتائج العملية المتوسطة لقيم الانترولي التي تم الحصول عليها عند تطبيق MSE على سلاسل LSCI الزمنية للسوق للمجموعات العمرية التي تم اختبارها (الشباب والمسنين). من هذا الشكل يمكن ملاحظة انحدار مستمر لقيم الانترولي لتسفر عن الفاصل الزمني ($T = 1 \tau$) ثم تعاود الارتفاع مجدداً لتسفر على وثيرة ثابتة على طول مقاييس النطاق الزمنية التي تم اختبارها. يعود الانحدار في قيم الانترولي نتيجة عمل القلب المنتظم الذي تم ملاحظته في ابحاث سابقة عند هذا الفاصل الزمني. اضافة الى ذلك يمكن ملاحظة فقدان في قيم تعقيد الانترولي مع تقدم العمر. يمكننا أن نلاحظ أن قيم الانترولي التي تم الحصول عليها من المجموعة الأصغر سنًا (الأزرق) أعلى من القيم التي تم الحصول عليها من المجموعة العمرية الأكبر سنًا (الحمراء). نظام الكائن الحي هو نظام معقد للغاية. يأتي هذا التعقيد من مجموعة واسعة من ردود الفعل التكيفية مع المتغيرات الفسيولوجية المختلفة في البيئة الخارجية. لذلك، فإن التعقيد الفسيولوجي للنظام الحي يمكن فرائه على التكيف مع الظروف المتغيرة باستمرار ، والتي ستكون ضرورية لدمج العمليات متعددة النطاقات. بدلاً من ذلك ، في ظل حالة خط الأساس ، يعكس انخفاض المستمر في التعقيد ضعف الاستجابات الفسيولوجية للكائن الحي للتغيرات في البيئة الخارجية . من خلال تطبيق MSE على بيانات الأوعية الدموية للسوق ، فقد لوحظ فقدان التعقيد في إشارة الأوعية الدموية الدقيقة بسبب الشيخوخة .

فقدان التعقيد الذي لوحظ مع مجموعة المسنين قد يكون بسبب حدوث خلل في عمل وهيكلاية الأوعية الدموية الدقيقة مع تقدم العمر. لقد لوحظ تدهور في أنشطة الأوعية الدموية الدقيقة مع تقدم السن في العديد من الدراسات السابقة (Tikhonova 2010). مع تقدم السن قد يحدث انخفاض في كمية الأكسجين التي تصل إلى الأنسجة ، وعدم الاتزان في عمليات التمثيل الغذائي المهم في عملية البناء والهدم (Harris 2010). علاوة على ذلك ، مع تقدم العمر قد يظهر انخفاض في أعداد الشعيرات الدموية العاملة ، وعيوب في وظائفها الأساسية بسبب ظواهر مثل فقدان الانتظام ، تدمير وتراهل الأوعية الدموية (Tikhonova 2010). وقد تم الإشارة ايضاً إلى لشيخوخة ترتبط بتنبيط وظيفة بطانة الأوعية الدموية والعمليات الكيميائية الخلوية ، وتدهور الجهاز العصبي . (Kenney 2003) .

أن تطبيق MSE على البيانات LSCI يمكن أن يفرق بين المجموعات الأصغر والأكبر سنًا باستخدام بيانات LSCI السوق: تقلبات المجموعة الأصغر سنًا تظهر تعقيدات أعلى من تلك التي تم الحصول عليها من المجموعة الأكبر سنًا. يمكن تفسير فقدان التعقيد في إشارة تدفق الدم في الأوعية الدموية الدقيقة للمسنين كنتيجة للتغيرات التي تحدث داخل القلب والأوعية الدموية مع التقدم في العمر. مع ذلك ، لم تكن هناك فروقات ذات دلالة إحصائية بين المجموعات الأصغر سنًا والأكبر سنًا على قيم مؤشر الانترولي التي تم الحصول عليها من MSE على بيانات LSCI للسوق ($p=0.649$).



الشكل ٥ : متوسط قيم الانترولي التي تم الحصول عليها من الساق لمجموعتي الأصحاء من الاشخاص : المجموعة الأصغر سنا (الأزرق) والمجموعة الأكبر سنا (الأحمر) لـ ٤ اشخاص في كل مجموعة. لكل مجموعة تم تطبيق MSE على بيانات LSCI. نطاق القياس المستخدم من $\tau = 1$ to $\tau = 267$.

٥. الاستنتاجات والتوصيات

بيّنت هذه الدراسة أن تقلبات الاشاره الفسيولوجية للاوعية الدموية الدقيقة لدى الأشخاص الأصحاء الشباب معقدة للغاية لكن هذا التعقيد يتناقص مع تقدم العمر. لقد تم التوصل سابقاً الى وجود علاقة وثيقة بين الدورة الدموية الكبرى والصغرى واعتبارهما نظامين متراقبتين (Khalil 2014). لذلك فان هذه النتائج تعطي دلالة على امكانية التنبؤ بامراض قد تصيب القلب من خلال دراسة عمل الاوعية الدموية الدقيقة. اضافة الى ذلك بين هذا البحث امكانية استخدام الخوارزميات الغير خطية لدراسة عمل الاوعية الدموية الدقيقة من خلال معالجة صور التباين الليزرية لتدفق الدم في الساق.

من اهم المحددات في هذا البحث هو حجم العينه الصغير نسبياً. لذلك نوصي بضرورة تطبيق نفس الدراسة على عينة اكبر بعد التأكد من التوزيع الطبيعي لهذه العينه. اضافة الى ذلك نوصي بتطبيق خوارزميات غير خطية جديدة على الصور الليزرية ومقارنتها مع النتائج المعروضة في هذا البحث. تطبيق خوارزميات غير خطية جديدة على اشخاص يعانون من امراض تصيب الاوعية الدموية الدقيقة مثل السكري قد يعطي تصوّر دقيق عن طرق العلاج والوقاية المبكرة.

المصادر

- Allen, J., and Kevin H. 2014. "Microvascular imaging: techniques and opportunities for clinical physiological measurements." *Physiological measurement* 35 (7): R91.
- Bi, R. et al. 2015. "Optical methods for blood perfusion measurement theoretical comparison among four different modalities." *JOSA* 32 (5): 860-866.
- Briers, J. D. and Webster, S. 1996. "Laser speckle contrast analysis (LASCA): a non scanning, full-field technique for monitoring capillary blood flow." *Journal of biomedical optics* 1 (2): 174-180.
- Briers, J. D. 2007. "Laser speckle contrast imaging for measuring blood flow." *Optica Applicata* 37.
- Costa, M., Goldberger, A.L., Peng C.-K. 2002. "Multiscale entropy to distinguish between physiologic and synthetic RR time series." *Computers in cardiology* 137-140.
- Harris, Norman R., and Rolando E. Rumbaut. 2010. "Age-related responses of the microcirculation to ischemia-reperfusion and inflammation." *Pathophysiology* 8 (1): 1--10.
- Kenney, W. Larry, and Thayne A. Munce. 2003. "Invited review: aging and human temperature regulation." *Journal of applied physiology* 95 (6): 2598-2603.
- Khalil, A., Humeau-Heurtier, A., Mahé, G., and Abraham, P. 2014. "Laser speckle contrast imaging: age-related changes in microvascular blood flow and correlation with pulse-wave velocity in healthy subjects." *Journal of biomedical optics* 20 (5): 051010.
- Moorman, J. S. Richman and J. R. 2000. "Physiological time-series analysis using approximate entropy and sample entropy." *Am. J. Physiol* 278: H2039–H2049.
- Richards, L. M., Kazmi, S. M. S., Davis, J. L., Olin, K. E., and Dunn, A. K. 2013. "Low-cost laser speckle contrast imaging of blood flow using a webcam." *Biomedical optics express* 2269-2283.
- Stern, M. D. 1975. "'In vivo evaluation of microcirculation by coherent light scattering'." *Nature* 254.5495.



Tikhonova, I. V., Arina V. T., and Nikolay K. C. 2010. "Time-amplitude analysis of skin blood flow oscillations during the post-occlusive reactive hyperemia in human." *Microvascular research*. 80 (1): 58-64.

A primary study on using nonlinear analysis methods to measure signal complexity values of leg by processing laser speckle contrast images

Summary

Purpose: The physiological signals are considered as a sensitive measure for describing human state. The evaluation of such signals can be accomplished by monitoring peripheral blood flow in the skin. Laser speckle contrast imaging (LSCI) is a powerful optical imaging tool that provides two-dimensional information on microvascular blood flow. By applying entropy-based complexity measure to LSCI time series, we present herein a primary study measure signal complexity values obtained from leg into two age healthy groups.

Methods: Leg skin microvascular blood flow was studied with LSCI in 8 healthy subjects. The subjects were subdivided into two age groups; younger (20–30 years old, n=4) and older (50– 68 years old, n=4). To compute complexity values of microvascular blood flow, we applied entropy-based complexity algorithm to LSCI time series obtained from laser speckle contrast images of leg.

Results: The application of entropy-based complexity algorithm to LSCI time series presented higher entropy values obtained from young group than the ones obtained from aged group. However, there was no significant difference between these two age groups ($p=0.649$).

Conclusion: The impact of aging on microcirculation could be estimated by applying entropy-based complexity algorithms to LSCI time series of leg. However, there was no significant difference on complexity values between aged and younger groups. Further studies with more subjects are needed to confirm the results presented in this paper.

Key words:

Laser speckle contrast imaging 2) Image processing 3) Microvascular blood flow 4) Entropy based complexity measures